

## S-IPS 액정셀의 시야각 개선을 위한 최적화 설계

### An Optimized Design of S-IPS LC Cell for Improving Viewing Angle Characteristics

김경미\*, 이와룡\*, 최성욱\*, 손정희\*, 양진석\*, 이기동\*

\*동아대학교 전자공학부

haslk@naver.com

액정 표시 장치가 만들어진 이후로 시야각 특성의 개선을 위한 많은 노력들이 있었다. 시야각 특성을 개선하기 위해서 S-IPS(Super In-plane switching)모드<sup>(1)</sup>, PVA(patterned vertical alignment)모드<sup>(2)</sup>, MVA(Multi-domain vertical alignment) 모드 등과 같은 여러 가지 모드들이 제안되어왔다. 특히 S-IPS는 평면 스위칭에 의해 다른 모드들에 비해 좀 더 뛰어난 시야각 특성을 가진다. 하지만 두 장의 편광판이 수직인 상태로 배열된 경우 대각 방향 관찰 시 편광판과 LC cell 축의 이동으로 인해 빛샘 현상이 발생하게 된다.<sup>(3)</sup> 이는 대형의 제품을 생산하는데 있어 문제점을 야기 시킬 수 있다. 본 논문에서는 이러한 빛샘 현상을 개선하기 위한 구조를 제안하였으며, 이 최적화 과정은 포토카레 구면을 통하여 수행하였다. 개선된 구조는 S-IPS 액정과 양의 C-plate, A-Plate를 이용하여 설계하였다. 이 구조는 기존의 구조에 비해 시야각 특성과 화면의 명암 대비 비율이 상당히 향상되었으며, 상용 시플레이터인 'DiMOS'를 통하여 개선된 특성을 확인하였다.

$$T = \frac{1}{8} T^4 \frac{\sin^4 \theta \cdot \sin^2 2\phi}{(1 - \sin^2 \theta \cdot \cos^2 \phi)(1 - \sin^2 \theta \cdot \sin^2 \phi)} \quad (1)$$

식 (1)은 대각방향의 관찰 시의 빛샘 현상을 수식으로 표현한 것이다.<sup>(4)</sup> 대각 방향 관찰 시 처음 설정되어 있던 편광판과 LC cell 축의 이동으로 인해 빛샘이 발생하게 되고, 이 축의 틀어지는 정도는 식 (2)를 통해 나타낼 수 있다.

$$\delta = \sin^{-1} \left[ \left( \frac{\cos \theta \cdot \sin \phi}{\sqrt{1 - \sin^2 \theta \cdot \sin^2 \phi}} \right) \right] \quad (2)$$

그림 1.은  $\theta, \phi$ 의 변화에 따른 'T'의 값을 나타낸 것이다. 그림 1.에서  $\theta=70^\circ$ ,  $\phi=45^\circ$ 에서 가장 큰 빛샘이 발생하는 것을 확인할 수 있으며, 따라서  $\theta=70^\circ$ ,  $\phi=45^\circ$ 에서 발생하는 빛샘을 보상하는데 중점을 두고 설계를 하였다.

그림 2. (a)는 기존의 S-IPS 구조를, (b)는 기존의 S-IPS 액정 셀에서 보상필름인 양의 C-plate, A-Plate를 사용한 구조를 보여주고 있다. 그림 3.(a)는 대각방향  $\phi=45^\circ$ 에서 제안한 구조의 전체적인 광 경로를 나타내고 있다. 빛은 최초로 편광판의 음의 C-plate(L1)를 지나고, S-IPS 액정 셀(L2)을 지나며, A-plate(L3), 양의 C-plate(L4), 다시 음의 C-plate(L5) 순서로 지나 G점에 최종적으로 도달하게 된다. G 점은 빛이 최종적으로 통과하는 편광판의 축에 수직이 되는 점으로써, 대각방향에서도 뛰어난 명

암 대비비를 가질 수 있게 된다. 그림 4. (a)와 (b)는 상용 시뮬레이션 'DiMOS'를 이용해 기존의 S-IPS의 시야각 특성과 제안한 S-IPS의 시야각 특성을 보여주고 있다. 기존의 S-IPS와 비교하여 A-plate 와 양의 C-plate를 사용한 구조의 대각방향 시야각 특성이 향상된 것을 확인할 수 있었다.

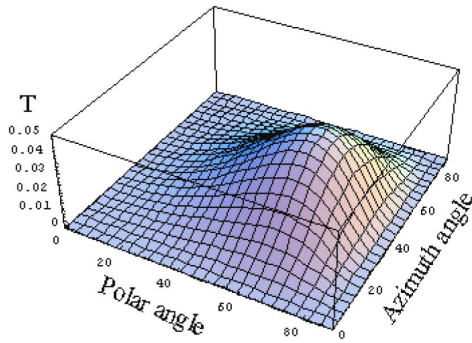
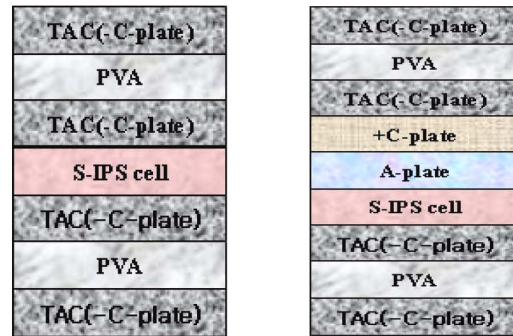


그림 1. 빛샘



(a) (b)  
그림 2. (a) 기존 S-IPS (b) 제안한 S-IPS

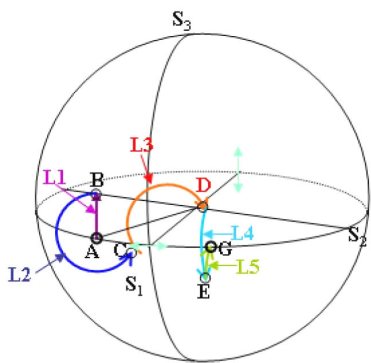
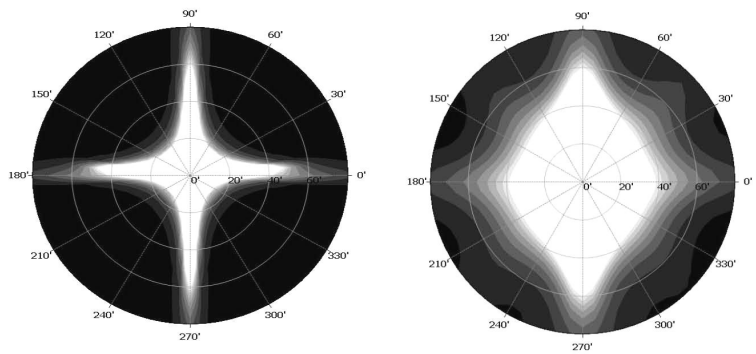


그림 3. 전체 광 경로.



(a) (b)  
그림 4. (a) 기존 S-IPS의 시야각특성 (b) 제안한 S-IPS의 시야각특성

참고 문헌

1. M. Oh-e and K. Kondo, "Electro-optical characteristics and switching behavior of the in plane switching mode", Appl. Phys. Lett., **67**, 3895-3897 (1995).
2. James E. Anderson and P. J. Bos, "Method s and Concerns of Compensating In-Plane Switching Liquid Crystal Displays", Jpn. J. Appl. Phys., **39**, 6388-6392 (2000).
3. T.Ishinabe, T.Miyashita and T. Uchida, "Wide-Viewing-Angle Polarizer with a Large Wavelength Range", Jpn. J. Appl. Phys., **41**, 4553-4558 (2002).
4. Joun-Ho Lee, C. H. Oh, W. R. Lee, J. C. Kim, G. D. Lee, "An Optical Configuration of Super IPS LC Cell for Symmetrically Wide Viewing Angle", IDW'05, p.69-72 (2005).

\* 본 연구는 LG Philips LCD의 지원과 정보통신부 및 정보통신연구진흥원의 대학 IT연구센터 지원 사업(IIITA-2006-C109006030030)의 연구결과로 수행되었음.